

面向应用感知的骨干网缓存方法研究

韩春静^{1,2,3}, 杨晔^{1,2}, 吕红蕾³, 葛敬国³, 李佟³, 刘韵洁¹

(1. 中国科学院计算技术研究所, 北京 100190; 2. 中国科学院大学, 北京 100049;

3. 中国科学院信息工程研究所, 北京 100093)

摘要: 基于某运营商骨干网上 9 亿条 HTTP 请求, 分析了 HTTP 请求组成、内容长度、流行度和时间动态性, 提出一种面向应用感知的骨干网缓存方法 (AACM, application-aware backbone network cache method)。实验结果表明在缓存空间略有增加的情况下, 在线视频的内容命中率提高了 15% 以上, 回源流量和缓存负载这些指标降低了一半左右。

关键词: 骨干网; HTTP; 应用层; 缓存; Web 对象

中图分类号: TP391

文献标识码: A

Research on the backbone network cache method based on application-awareness

HAN Chun-jing^{1,2,3}, YANG Ye^{1,2}, LYU Hong-lei³, GE Jing-guo³, LI Tong³, LIU Yun-jie¹

(1. Institute of Computing Technology, Chinese Academy of Science, Beijing 100190, China;

2. University of Chinese Academy of Sciences, Beijing 100049, China;

3. Institute of Information Engineering, Chinese Academy of Science, Beijing 100093, China)

Abstract: Based on over 900 million HTTP requests from an ISP backbone network, the HTTP characteristic of different content types from a wide range of perspectives was analyzed, including request composition, size, popularity and temporal dynamics, and an application-aware backbone network cache method was proposed, referred to as AACM. The experiment results show that in the case of a slight increase in cache space, the hit ratio of the online-video increases 15%, and the total source traffic and cache I/O load reduced by about half.

Key words: backbone, HTTP, application layer, cache, Web object

1 引言

评价一个 HTTP 网站性能最直观的方式就是看网页打开的速度, 已知 Web 对象访问具有时间局部性和空间局部性^[1]特征, 提高网页反应速度的一个方式就是使用缓存。缓存可以保存刚刚被访问的 Web 对象副本, 下一次对此 Web 对象的访问, 直接访问缓存的内容副本即可。一个优秀的缓存策略可以缩短网页请求资源的距离, 减少延迟, 并且由于缓存文件可以重复利用, 还可以减少带宽, 降低网络负荷。因此, 2005 年以来, 运营商在靠近

用户的网络边缘处部署了大量 HTTP 缓存服务器, 用户可以就近访问热门视频、图片等, 提高页面上 Web 对象的响应速度; 随后出现了 CDN (content delivery network), CDN 本质还是使用 Web 缓存技术^[2], 结合内容主动分发技术, 实现 HTTP 内容的高效访问。

虽然边缘网络部署了大量的缓存系统并广泛应用 CDN 技术, 但从国际商业调查公司统计^[3]来看, 网站 CDN 使用率呈现明显的长尾效应。Alexa 前 100 名网站中 CDN 的使用率为 44%, 而 Alexa 前 10 万名网站中 CDN 的使用率仅为 17.2%, 同时,

收稿日期: 2017-05-18; 修回日期: 2017-10-25

基金项目: 国家重点研发计划基金资助项目 (No.2017YFB0801801); 国家科技重大专项基金资助项目 (No.2017ZX03001019)

Foundation Items: The National Key Technology Research and Development Program (No.2017YFB0801801), The National Science and Technology Major Project (No.2017ZX03001019)

2009 年以来, 骨干网链路上超过 60% 的流量为 HTTP 协议流量^[4], 此流量比例表明仍然有大量的 HTTP 内容请求在骨干网链路上, 运营商希望骨干网上使用缓存和 CDN 技术, 把其腾出的带宽给其他高价值用户。

以“空间换时间”的缓存方法需要大量空间保存内容副本, 已有的研究发现仅访问一次的 HTTP 内容比例非常高^[5], 同时缓存空间不可能无限大, 向缓存移入移出内容的时机非常重要, 所以, 缓存内容决策和替换算法是缓存优化的关键。为了解决此问题, 一方面, 已有的一些缓存优化方法主要关注热门内容的请求频率等特征, 试图预测下一次用户最可能访问的内容并提前预取到缓存中, 由于预测算法会占据大量计算和存储开销, 并不适用于高速骨干网; 另一方面, 目前部分用户的终端 AP, 小型运营商网络都部署了边缘缓存系统或 CDN 系统, 一个 HTTP 请求首先经过网络边缘缓存, 如果边缘缓存没有命中, 则转发请求到骨干网, 为了减少边缘网络频繁地直接向源站请求内容, 越来越多的运营商考虑骨干网 CDN, 当骨干网的接入网节点部署了 CDN 或缓存并大量的为用户提供热点资源的访问服务的前提下, 到达骨干网的请求是边缘网络过滤热点内容之后的请求, 因此, 核心网络与边缘网络的 HTTP 请求模式会有所区别, 最近, 美国 CDN 提供商 Fastly 已经开始在骨干网部署 CDN 缓存, 发现骨干和边缘网络的 HTTP 命中率不同。

随着应用的发展, 缓存也需要考虑不同类型内容的用户体验质量 (QoE, quality of experience), 已有一些基于校园网和边缘网络的 HTTP 请求特征的刻画^[6,7], 但是骨干网相关的研究较少。因此, 迫切需要分析骨干网的 HTTP 请求特征, 并提出合适的缓存方法。

本文基于数据驱动的研究方法, 完成了如下工作, 首先, 采集国内某运营商骨干网 HTTP 请求, 刻画了不同类型的内容特性; 其次, 设计一个面向应用感知的骨干网缓存方法, 算法分为 2 个部分, 分别是面向应用的请求阈值优化 (AACM-RT, application-aware request threshold optimization) 和面向应用的缓存空间动态规划 (AACM-DP, application-aware dynamic programming of cache space); 最后, 使用骨干网 HTTP 请求的现网数据, 完成实验并验证算法的有效性。

2 HTTP 缓存优化相关工作

已有研究表明 Web 缓存的核心问题就是设计一种有效的内容缓存策略, 提高缓存命中率, 减少回源流量和降低缓存 I/O 操作次数^[8]。这 3 个缓存性能测量指标的定义如下: 缓存命中率为命中的 HTTP 请求数量除以所有 HTTP 的请求数量; 回源流量为从内容源网站下载的流量字节; 缓存 I/O 操作指内容移入/移出缓存的次数。其中, 对于最广泛研究的缓存决策策略与缓存替换策略可以从 HTTP 访问内容的几个典型特征进行优化。

首先, HTTP 访问内容的分布具有时间和空间局部性特征^[9], 利用这 2 个局部性原理的相关算法, 如 LRU (least recently used) 和 LFU (least frequently used) 算法, 可以保证最近被访问过的对象副本不容易被移出缓存。

其次, HTTP 访问内容的访问频率遵循 Zipf-like^[10]定律, 即所有内容中最热门的少数内容占了大部分 HTTP 请求数量, 可以利用此特征设计缓存的决策算法, 比较常用的方法有内容预取和预置请求阈值。有很多内容预取方法, 比较简单的有基于超链接的预取, 其次是基于用户访问模式的预取算法, 如基于用户访问序列的预测算法^[11]、基于 Web 对象流行度的预取算法^[12]和基于用户兴趣的预测算法^[13]。最新的内容预取研究中, 文献[14]提出了接纳策略控制的预取算法, 此算法基于减少少数项的访问频率的思想, 提高整体的命中率, 属于基于内容访问频率特征的优化思路。由于预取技术需要预先保存最近访问的所有 HTTP 请求, 存储开销大, 目前基本没有被广泛应用。请求阈值方法指设置请求阈值为 N , 那么当一个内容被访问 N 次之前, 缓存不会下载内容, 此方法部署简单被大量采用。但是, 请求阈值方法会对热点内容的前 N 次访问造成等待时间长的问题, 尤其是对延迟要求敏感的在线视频应用。

另外, HTTP 访问内容的大小服从重尾分布, 即 HTTP 访问的内容文件由大量的小文件和少量的超大文件组成。对于缓存存储的内容, 一个图片的量级仅为 KB, 一个应用更新程序经常超过 1 GB, 为了提高缓存性能, 通用的优化方法将请求的内容分成 HTTP 小文件和 HTTP 大文件缓存, 保证大文件和小文件获得缓存的机会平等; 其次, 很多内容替换算法增加内容长度的权重, 内容文件越大, 被

缓存的几率越小，如最小相关价值^[15]（LRV, least relative value）方法，LRV 考虑内容的长度、访问次数和访问时间间隔等因素，价值最小的意味着用户最不可能再次访问的内容。

近些年，基于内容流行度的相关研究工作为缓存优化提供了新的思路。Abrahamsson^[16]分析了一个美国视频内容商的内容特征，发现内容流行度符合长尾分布，在黄金时段期间（晚上 7:00~9:00）一个地区前 100 个最受欢迎节目的请求量增加，排名前 100 个节目列表中的节目比较稳定，较少移进移出，利用此结果，可以将热门内容引入网内边缘或内容注入 CDN。类似地，文献[17]分析了视频提供商 Hulu 用户选择不同 CDN 的特征，发现用户选择 CDN 后固定下来，即使缓存命中率降低，也不会重新选择 CDN 节点，文献提出可以对视频进行内容分割，选择最优的缓存节点。

从网络规模上考虑，文献[6]分析欧洲校园网络中到 YouTube 网站的请求，发现一次性的视频请求非常多，占了 70%以上。文献[7]分析了接入网 HTTP 请求的可缓存行特征，观察到内容流行度符合长尾分布，流行度曲线比较平稳。由于 CDN 骨干网较少，骨干网缓存的测量更多基于实验环境，例如，文献[18]测量美国 CoralCDN 实验网研究协作缓存解决 Flash crowd 的问题。最近，Shafiq^[19]测量了一个大型商业 CDN，测量的数据来自全球几大缓存服务器，也发现 HTTP 小文件和大文件中仅仅访问一次的内容分别占了 50%和 60%的比例，并存在非常热门的访问内容。

近些年，缓存优化研究进一步结合影响缓存的各种内容特征因素。文献[19]结合了请求阈值方法和缓存空间预测算法，此方法中，总缓存空间大小固定，采用自回归综合移动平均（ARIMA）算法计算不同应用类型的缓存比例，取得了比较好的命中率，但是没有考虑不同应用 QoE 的需求，对视频和压缩文件等设置了统一的请求阈值，缓存容量规划仅仅根据请求次数和字节数来判断，对于大的压缩文件，字节占比非常大，根据过去历史预分配缓存空间，会造成下载类型缓存空间越来越大，导致视频请求的访问时延变大。由于移动应用的发展，内容流行度的分析关注访问内容的用户分布特征，文献[20]提出用户访问具有地域性特点，同一个地区的用户访问本地应用较多，用户偏好更接近，不同

地区的用户很少有共同的热点，尤其是新闻和体育内容。

在主动测量方面，Ma 等^[21]使用 Alexa 的前 100 名的网站（Top 类型）和 Alexa 前 10 万名网站中的随机 100 个网站（随机类型）作为分析对象，通过构造 HTTP 请求主动测量网站的访问延迟。结果发现随机类型比 Top 类型的缓存性能更好，原因是 Top 类型的网站内容更新地更快；其他影响缓存性能的原因还包括相同的内容拥有不同的 URL，内容过期时间设置的太短等，并提出了一些优化的思路，此文献主要测量了 CSS 文件等 HTTP 小文件的访问性能，由于小文件所占带宽不多，所以对骨干网的流量影响不是特别大，本文更关注 HTTP 大文件的缓存优化。

另外，借助客户端资源的缓存优化策略被广泛提出，如 Chaudhari 等^[22]提出的代理端 Web 预取方案、Nikolaou 等^[23]提出的客户端合作缓存模型，这种方式存在浏览器不兼容的问题，而且存在安全隐患，故不适用于骨干网。

总结上述工作，利用内容局部性原理和热门内容集中访问这些特征，内容预取方法和客户端合作缓存方法能够提高缓存内容的命中率，降低 HTTP 访问延时，面对高速骨干网 HTTP 访问快速到达的特征，这 2 种方法不适用。为了提高缓存处理速度，骨干网缓存大部分仅仅采用了请求阈值策略。近年来，运营商越来越关注缓存对 QoE 的影响。首先，大部分用户采用在线观看视频的方式获取视频内容，在线视频具有很强的用户交互特点，视频直播也在迅速发展，离线视频的下载越来越少，提高在线视频的缓存效果是面临解决的一个问题。在线视频访问对延迟非常敏感，缓存需要高命中率，这和有限的缓存空间形成冲突，文献[5]和文献[19]的测量结果发现，一次性内容访问的内容比例非常高，对缓存决策策略带来了挑战。虽然随着视频编解码技术的发展，在线视频可以被划分为更小的数据块，视频支持缓存部分内容^[24]，但是对视频的访问时延要求进一步提高，期望将访问 Web 对象的延时降到最小，尽量和访问本地的视频保持最小时间差。其次，对于资源下载网站的压缩文件和离线视频，虽然访问时延没有那么严格的要求，但是这些文件不支持部分缓存，如果流行度高的内容命中率很低或内容副本频繁移入移出，会导致回源流量升高和加重缓存 I/O 负载开销。最后，从用

户分布来看，骨干网 HTTP 内容访问的用户分布不具备局部性，造成内容流行度的长尾分布^[19]，即使采用缓存空间动态预测算法，不同时期的缓存空间需求不同。

测量骨干网 HTTP 请求特征的困难在于缺乏现网内容访问的数据，其次，HTTP 内容访问数据量庞大，需要专门的日志处理系统进行详细的分析。本文采用了 Hadoop 文件系统和 Spark 实时数据处理技术分析国内某运营商一段时间之内的 HTTP 内容访问日志，形成数据集，基于此数据集的特征分析结果提出相应的优化方法。

3 骨干网 HTTP 访问内容特征分析

3.1 数据集

本节的数据采集拓扑如图 1 所示，国内某 ISP 出口部署了深度分组检测（DPI, deep packet inspection box）设备，并将出口的 HTTP 请求（HTTP request）分组转发到采集服务器上。HTTP 请求分组主要包括请求的 URL、请求时间、文件大小、请求源地址和请求目标地址等信息，如表 1 所示。

由于 HTTP 请求的内容长度不方便在线解析，一般采用文件后缀名区分不同的内容类型，本文也采用了这样的方法。将静态网页、CSS 文件和图片等划分为 HTTP 小文件，视频、音频和压缩文件类似的内容划分为 HTTP 大文件。HTTP 小文件的缓存压力不大，对骨干网流量影响较小，所以，本文重点研究 HTTP 大文件的缓存优化策略。参考了已有的网络协议识别划分方法^[4]，依据内容文件的后缀和发布网站，形成音频(audio)、下载(download)、

图片(image)、在线视频(online video)、离线视频(video)和混杂应用(other) 6 种类别。数据集为国内某运营商从 2016 年 1 月 1 日~2016 年 1 月 11 日共计 9 亿条左右的 HTTP 大文件请求日志。

表 1 HTTP 请求内容记录

记录	含义
时间	HTTP 请求到达 Cache 的时间
Application	应用类型
Cache ID	Cache 集群的 ID
客户端 IP	HTTP 请求发起者
请求类型	HTTP 请求类型，如 GET
URL	请求的 URL
User-Agent	HTTP User-Agent
内容 ID	内容的散列值
源地址	请求内容源的 IP 地址
源域名	请求内容源的域名
请求开始时间	收到 HTTP 请求的时间
请求完成时间	HTTP 请求内容发送完毕时间
文件大小	HTTP 请求的文件长度

3.2 不同内容类型的 HTTP 请求特征分析

HTTP 内容流行度可以使用内容请求数来定义，请求次数越多则流行度越大。本节从各个方面分析 HTTP 的内容流行度。由于 HTTP 大文件请求中图片、离线视频和混杂应用的请求少，不再重点分析这 3 种类型的请求。

首先，分析 HTTP 请求数据的变化趋势，图 2 为时间序列的请求次数分布，每 5 min 汇聚一次。考虑到 1~3 日是放假时段，仅分析 4 日之后的 HTTP 请求，下同。图 2 的内容请求数呈日周期波动，这个与文献[6]和文献[16]的高峰期仅出现在晚上不

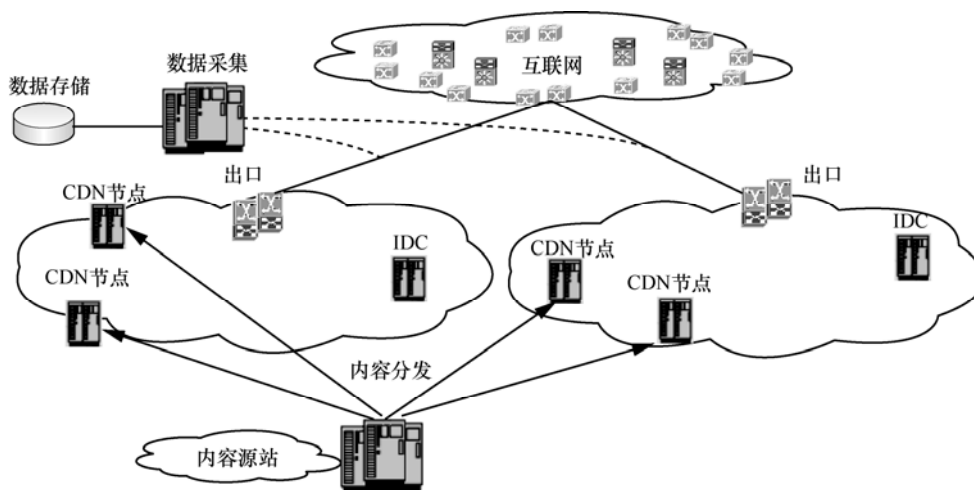


图 1 数据集采集拓扑

同，图 2 分别在早 12 和晚 10 点出现 2 次高峰。其中，晚上高峰期的请求数是白天非高峰期的 2 倍；对内容类型分解发现，高峰期在线视频请求增加的最多，而其他类型请求增加的比较少。

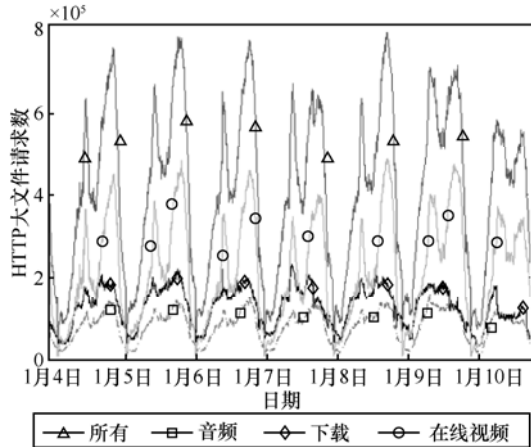


图 2 不同内容类型 HTTP 请求趋势

图 3 为内容请求次数的累积分布函数 (CDF, cumulative distribution function)，不同内容类型请求呈现长尾分布。所有请求中，63%的内容仅仅被请求过一次，这个与文献[6,19]相似；在线视频请求中，有 44%的内容仅仅被请求了一次，曲线斜率非常大，即或仅被访问 1~2 次，或被访问次数很多；下载类型请求分布虽然斜率比在线视频小，但是访问次数小于 1 次和 2 次的内容比例依然占了 55%和 66%。所以，缓存设计需要尽量降低访问次数少的内容副本被保留，尤其是访问频率稀疏的某些下载文件。

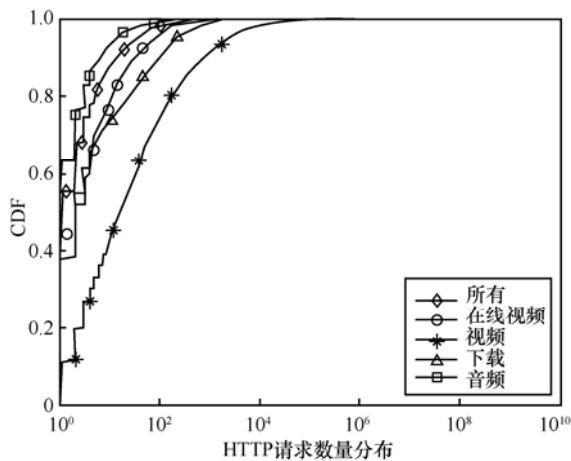


图 3 不同内容类型 HTTP 请求分布

为区分高峰期和非高峰期的 HTTP 请求特征，对比分析了非高峰期和晚上高峰期的请求分布，非高峰期的趋势和图 3 相似，不再显示，高峰期的请

求分布如图 4 所示。在线视频访问 1 次或 2 次的内容分别为 26%和 28%，比非高峰期一次性请求降低了 20%，下载亦如此。音频在高峰期的内容访问特征没有发生明显改变，依然比较分散，说明骨干网用户对音频没有明显的热点。

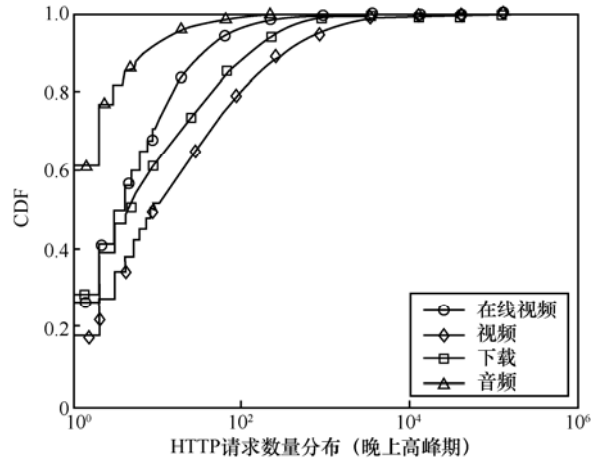


图 4 高峰期不同内容类型 HTTP 请求分布

接下来，使用唯一内容分析 HTTP 访问内容变化趋势。唯一内容是指互联网中可被缓存的、完全相同的文件。对于唯一内容文件，不同网站会产生不同的 URL，通常不使用 URL 区分内容文件，而是使用文件的 MD5 值来定义内容 ID，这个 ID 就是区分唯一内容的标志，图 5 是唯一内容的变化趋势。

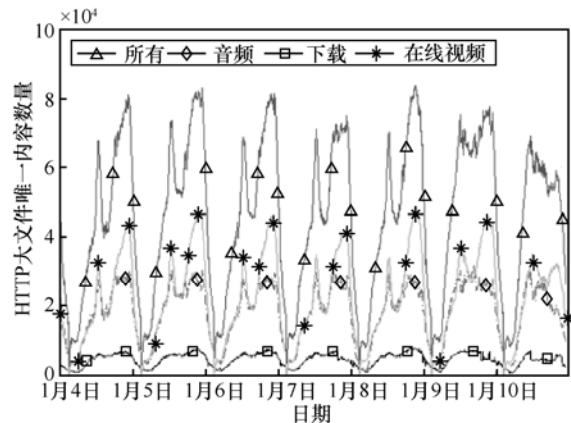


图 5 唯一内容变化趋势

结合 HTTP 请求数量分析唯一内容的变化趋势，唯一内容比例 (object uniqueness ratio) 可以使用式(1)表示。

$$our = \frac{\text{唯一内容的数量}}{\text{所有的请求数量}} \quad (1)$$

our 表示了所有 HTTP 请求中涉及的内容数量比例, *our* 越小, 表明 HTTP 请求的内容越集中。如果 *our*=1, 表明每次访问的内容都不同; *our* 越接近于 0, 则表明访问越趋向于一个或几个流行的内容。图 6 统计了 *our* 的变化趋势。图 5 和图 6 综合分析发现, 在线视频、下载和音频随着请求数的增加, 唯一内容数量也成正比增加。对于 *our* 趋势, 首先, 下载的 *our* 曲线非常平稳, 基本呈一条平行直线, 反映了下载的 HTTP 请求和唯一内容数量的正比例关系, 其次, 下载的 *our* 绝对值非常小, 表 2 统计了 *our* 的平均值, 可以看出, 下载文件平均一个内容被访问将近 30 次, 考虑到图 3 中几乎有一半的下载内容仅被访问了 1~2 次, 实际热门下载文件的重复访问次数应该远高于平均访问次数。其次, 在线视频的唯一内容数也是随着请求数的变化而变化, 但是唯一内容高峰期的曲线没有那么陡峭, 在线视频的 *our* 呈天的周期性变化, 上午非高峰期的 *our* 呈整体上升趋势并在之间不规则波动, 高峰期的 *our* 整体下降趋势并更加平稳, 说明非高峰期的用户访问内容更分散, *our* 的上下波动说明内容不断地移入移出, 另一个发现是, 虽然在线视频的请求数远大于下载类型, 但是在线视频的 *our* 绝对值远高于下载类型, 说明存在很多热门视频的内容流行度不如下载类型。

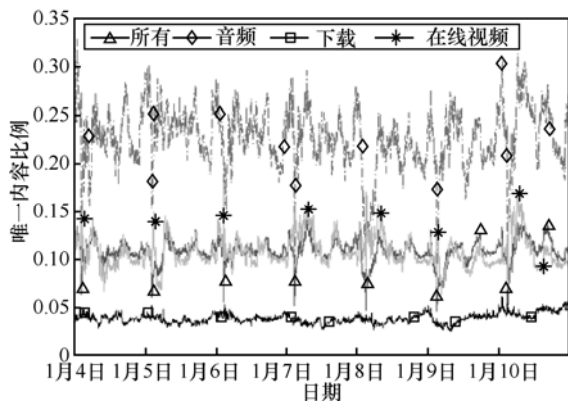


图 6 唯一内容比例趋势

通过上述的测量结果发现, 如果采用同样的缓存内容替换算法, 如 LFU 或 LRU, 平等地对待下载和在线视频请求, 在线视频更容易被挪出缓存, 导致命中率较低, 对于交互性很强的在线视频是不利的; 如果下载内容被设置优先移出缓存, 会造成热门下载内容的命中率降低, 从而增加骨干网带宽的额外开销; 对于音频和离线文件下载, *our* 非常大而且

存在较大范围的下上波动, 离线文件的 *our* 值远大于前几个, 不再显示, 结果也验证了前边的分析, 即音频和离线文件下载的可缓存性不高。

应用	<i>our</i>
所有	0.12
音频	0.24
下载	0.036
在线视频	0.11
其他	0.465

图 7 是内容请求数和唯一内容之间的趋势关系, 当请求数量小于 10^5 时, 下载类型的唯一内容数量线性缓慢增长, 在线视频的唯一内容数量指数升高, 在线视频的唯一内容数量明显多于下载内容; 当请求到达 10^5 之后, 下载类型的唯一内容数量呈现平稳的常数, 而在线视频继续呈指数型增长, 也反映了 2 种不同的内容流行度趋势。

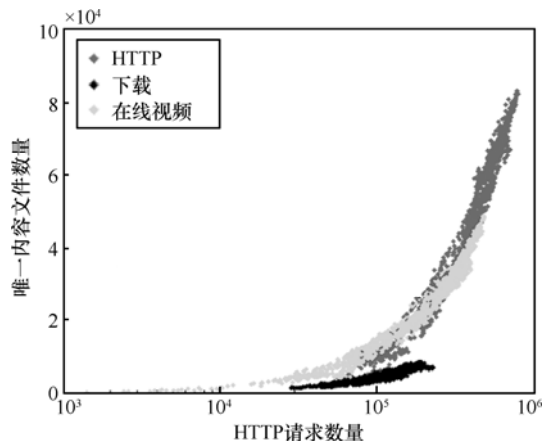


图 7 请求数与唯一内容数量趋势的关系

从 HTTP 内容访问排名分析内容流行度, 如图 8 所示。由于工作日结果比较类似, 仅显示中间一天的结果。首先, 内容流行度呈现 zipf 的长尾分布, 高流行度的内容占据了大部分的请求比例, 从曲线斜率来看, 对于所有内容, 高峰期大部分内容流行度比非高峰期高, 但是非高峰期的排名前 10 的内容访问次数大部分高于高峰期排名前 10 的内容, 分析后发现是一些软件更新的压缩文件和热点在线视频, 但是从整体来说, 高峰期的内容流行度高于非高峰期。

内容长度会影响到缓存的空间分配, 图 9 是 HTTP 内容长度 CDF。相比在线视频和离线视频文

件, 下载文件相对分布均匀, 依然有 10% 的下载文件大于 100 MB, 有 1% 的下载超过 1 GB, 由于基于浏览器的下载应用不支持分段请求, 必须缓存完整的内容副本, 所以需要考虑下载内容对缓存的空间占用影响。对于在线视频, 有 27% 的在线视频的文件都为 4 GB, 由于在线视频播放可以对内容分段请求, 所以即使存在大量 4 GB 的在线视频内容, 实际可以部分缓存。离线视频几乎都是大文件, 离线视频需要完整下载, 所以缓存需要尽量地减少非热门的下载文件和离线视频被缓存。

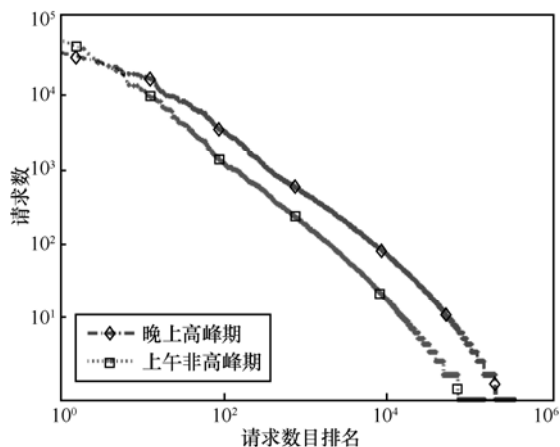


图 8 不同时段的内容流行度

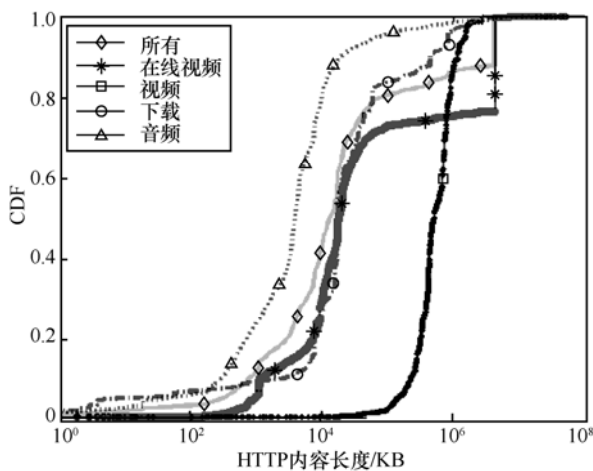


图 9 HTTP 请求内容长度分布

总结 HTTP 请求内容的测量结果。

1) HTTP 请求呈长尾分布, 63% 以上的请求内容的请求次数在一次, 并存在一部分内容具有非常高的流行度。

2) 对于在线视频, 非高峰期的用户访问内容比高峰期分散, 导致内容不断地移出移入; 高峰期在线视频的请求数增加了 2 倍, 但是请求一次的内容

降低了 20%。

3) 对于文件下载, 存在一些热门下载文件被频繁访问, 虽然在线视频的请求数远大于下载类型, 但是, 在线视频的平均内容重复访问次数远低于下载类型, 说明热门视频的很多内容流行度不如热门下载文件。

4) 离线视频和音频在高峰期的内容访问特征没有发展明显改变, 依然比较分散, 说明骨干网用户对这两种类型的内容没有明显的热点。

4 AACM 的缓存优化方法设计

4.1 AACM 缓存方法

根据已有的分析结果, 缓存设计原则如下: 1) 保证在线视频尽可能高速访问, 尤其是高峰期的请求; 2) 内容下载访问延迟可以容忍, 但是对于流行度高的热门下载保持高的命中率; 3) 减少内容特征解析开销, 满足骨干网 HTTP 实时处理的要求。根据上述设计原则, 提出一个面向网络应用感知的缓存优化方法 AACM, 方法基本思想如下。首先, 基于骨干网中访问一次的内容较多特点, 不同类型内容设置不同的缓存请求阈值, 对交互性要求高的内容设置低阈值, 减少缓存空间的浪费, 提高热门内容的命中率, 称为面向应用的请求阈值优化, 简称 RT 策略。其次, 根据不同类型内容动态划分缓存空间, 采用时间序列预测算法, 根据过去一段时刻每种应用的命中率和空间分配容量, 预测不同应用下一时刻的缓存空间容量需求, 实现缓存空间的动态规划, 称为面向应用的缓存空间动态规划, 简称 DP 策略, AACM 整体方法流程如图 10 所示。

4.2 AACM-RT 缓存方法

此部分设计一个内容类型数组 app 和请求阈值数组 rt , app 的长度为 app_len , 例如, $app = \{\text{音频, 下载, 图像, 在线视频, 视频, 其他}\}$, rt_i 指第 i 种应用的请求阈值 ($1 \leq i \leq app_len$), 默认 rt_i 为 1, 对于某个内容, 当请求数到达 rt_i 之前此内容不被缓存, 当请求数达到 $rt_i + 1$ 时此内容被缓存。对于不流行的内容, AACM-RT 会多产生 $rt_i - 1$ 次不命中次数, 对于流行度比较高的内容, 内容不容易被移出。

由于骨干网上的唯一内容数量大, 请求到达快, 统计唯一内容的请求次数会带来额外的开销, 需要高效的存储结构, AACM-RT 基于 counting

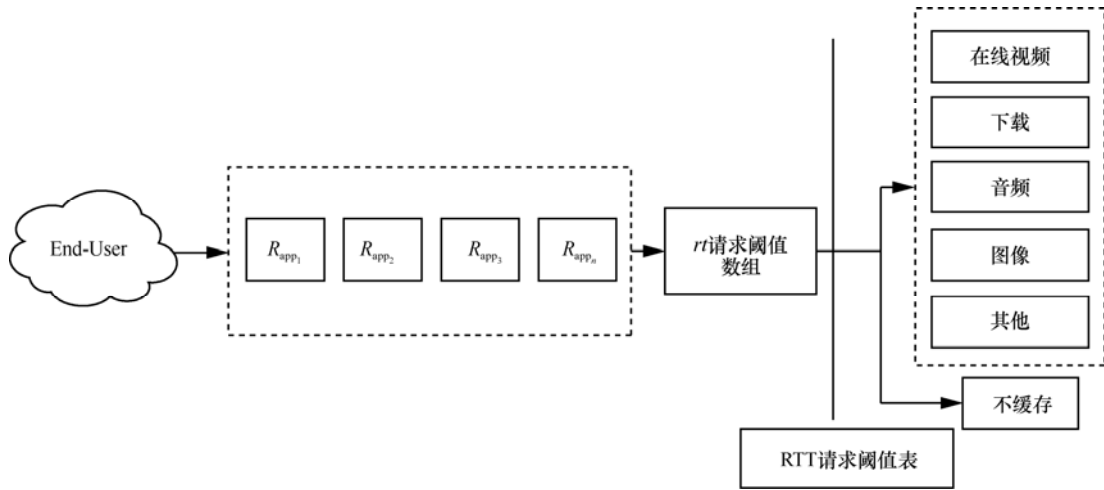


图 10 AACM 方法设计

Bloomfilter^[25] 形成请求监测表 (RMT, request monitor table), rmt 为一个 N 个计数器的计数数组, 每个计数器是一个 b 位的二进制数, 设置 k 个 Bloomfilter 的散列函数, f_1, f_2, \dots, f_k , 输出在 $1 \sim N$ 之间分布。对一个输入的请求, 计算 k 个散列函数, 获得 $rmt[f_j(e)]$ ($1 \leq j \leq k$), 获得 k 个结果, 如果存在 k 个结果中有一个结果为 0, 则请求不存在 rmt 中; 如果 k 个结果中都不为 0, 说明请求有可能在 rmt 中。当结果不存在在 rmt 中时, $rmt[f_j(e)]$ ($1 \leq j \leq k$) 对应的所有计数器加一操作, rmt 中插入 k 个结果, 当结果达到阈值开始缓存的时候, $rmt[f_j(e)]$ 对应的所有计数器减一操作。第 5 节实验中, N 设置为 2×10^9 , 散列函数设置为 10 个, N 是高峰期 6 个小时请求的 4 倍, 由于请求数 n 是不断增长的, 所以数据结构需要定期清空, 根据流量的特点, 设置为 4 个周期, 每 6 h 清空一次, 清空的原则保持在非高峰期的时候操作。

4.3 AACM-DP 缓存方法

AACM-RT 解决了请求的差异化性能要求, 提高热点内容在缓存的命中率。第 3 节分析发现骨干网的请求在中午和晚上会出现明显的高峰期, 在线视频请求占据了大部分高峰期额外的请求, 图 11 是在缓存空间固定的情况下设置 $rt_3 = 1$, 其他的 rt_i 都为 4 的情况下的实验结果, 实验环境在第 5 节进行说明。实验结果发现, 如果缓存空间固定的情况下, 无论是 LRU 还是 LFU 的内容替换算法, 在线视频应用在中午 11 点请求高峰期开始后命中率开始下降, 其他类型的请求命中率下降速度更快。因

此, 仅依靠 AACM-RT 优化不能解决高峰期请求波动问题, 高峰期造成请求命中率持续降低, 最后发展到整个缓存不可用的状态。

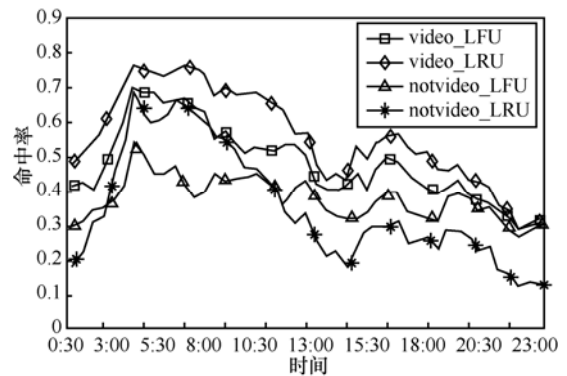


图 11 缓存空间固定的命中率比较

为了解决上述的问题, AACM-DP 提出根据应用类型划分不同的缓存空间, 同时根据命中率和不同应用已有的缓存空间占比, 来预测下一时刻的缓存占比, 动态调整缓存空间。已有研究表明 HTTP 请求具有自相似性^[26], 为了验证方法合理性, 本文统计了基于时间序列的各个特征的自相关性^[27], 对于一个各态遍历的广义平稳随机信号 $x(n)$ 来说, 其自相关函数 $r_x(m)$ 定义为

$$r_x(m) = \lim_{N \rightarrow \infty} \frac{1}{N} \sum_{n=0}^{N-1} x(n)x(n+m) \quad (2)$$

结合已有的数据, 仅计算时间序列的正相关, 以每 5 min 的回源流量为输入获得图 12 的时间序列自相关结果: 0~55 min 以内相关性大于 90%; 0~1.5 h 之内相关性大于 80%; 随后相关性先下降后增高; 最

后当延时的样本点 $delay$ 为 288 次，即和比较指标相隔 24 h 的时候相关度为 76%。从上述分析可以看出，最近一段时间的内容特征自相关性最强，而且使用最近一段时间的值计算存储空间最少，所以，AACM-DP 的方法是可行的。

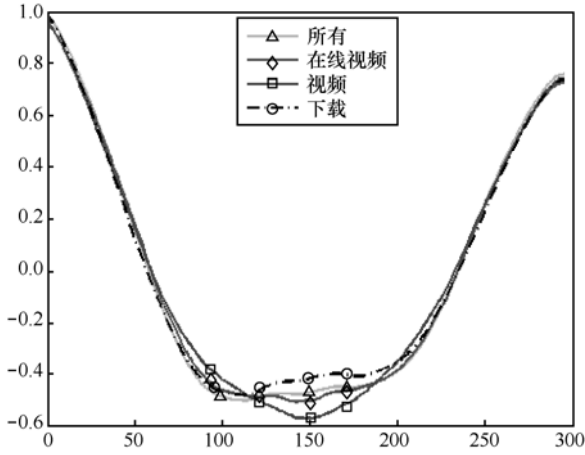


图 12 自相关计算 ($delay=288$ 次)

DP 方法中，已知 $t-s$ 到 t 个时刻的缓存容量和命中率，基于时间序列预测的方法，预测 $t+1$ 时刻的缓存空间需求，可以用式(3)描述。

$$c_{i,t+1} = f(c_{i,t-s}, L, c_{i,t}, hr_{i,t-s}, L, hr_{i,t}) \quad (3)$$

其中， $c_{i,t}$ 指时刻 t 第 i 种类型的缓存空间容量，使用字节表示， $hr_{i,t}$ 指 t 时刻第 i 种类型的命中率， $th_{i,u}$ 和 $th_{i,l}$ 分别是第 i 种类型的命中率上限和下限， $k_{i,t}$ 表示空间调整参数， $k_{i,t}$ 的初始值 $k_{i,0}$ ， n 表示在当前状态持续的周期数。为了应对流量高峰期的请求，当命中率持续降低时， $k_{i,t}$ 指数级增加；当命中率平稳时， $k_{i,t}$ 不变；当命中率呈增长趋势时， $k_{i,t}$ 线性减少，保证内容移出不会太频繁。算法流程如算法 1 所示，默认选择使用最近 3 个周期缓存空间作为预测回归的周期次数，即 $s=2$ 。其伪代码描述如下。

算法 1 AACM-DP 缓存空间动态规划算法

输入 $hr_{i,t}$, $hr_{i,t-1}$, $hr_{i,t-2}$, 上一周期改变的比例 $k_{i,t-1}$

输出 第 $t+1$ 周期 Cache 大小 $c_{i,t+1}$

begin

if $hr_{i,t} < th_{i,l}$

$k_{i,t} = k_{i,0} 2^n$; // 低于阈值按照停留在该状

态的周期数成指数增大

else if $hr_{i,t} > th_{i,u}$

$k_{i,t} = -k_{i,0} 2^n$; // 超过阈值按照停留在该状态的周期数成指数减小

else if $hr_{i,t} > hr_{i,t-1}$ // 过去 2 个周期，命中率呈上升趋势

if $hr_{i,t-1} > hr_{i,t-2}$ // 阈值范围内，过去 3 个周期命中率连续升高

if $hr_{i,t} - hr_{i,t-1} > hr_{i,t-1} - hr_{i,t-2}$ // 增大的趋势

$k_{i,t} = -k_{i,0} 2^n$; // cache 按指数减小

else // 趋势变平缓

$k_{i,t} = -k_{i,t-1}$; // cache 按上一周期的比例减小

else // 过去 3 周期内命中率先降后升

$k_{i,t} = -k_{i,0}$; // cache 减小 k_0 倍

else // 过去 2 个周期，命中率呈下降趋势

if $hr_{i,t-1} < hr_{i,t-2}$ // 阈值范围内，过去 3 周期命中率连续降低

if $hr_{i,t-1} - hr_{i,t} > hr_{i,t-2} - hr_{i,t-1}$ // 且趋势增大

$k_{i,t} = k_{i,0} 2^n$; // cache 按指数增加

else // 趋势变平缓

$k_{i,t} = -k_{i,t-1}$; // cache 按上 1 周期的比例减小

else // 过去 3 周期内命中率先升后降

$k_{i,t} = k_{i,0}$; // cache 增大 k_0 倍

$c_{i,t+1} = c_{i,t} (1 + k_{i,t})$ // 计算下一时刻的空间分配

end

算法 1 主要为了获得空间容量的参数 $k_{i,t}$ 的值，

具体的计算流程如图 13 所示。

4.4 AACM 优化

由于每增加一种内容类型会多一步判定操作，为了减少比较次数，在开发原型系统时优化了 AACM 方法，将在线视频类型简称为“视频”，其余的类型称为“非视频”，对应数组 $app = \{\text{video}, \text{notvideo}\}$ ，这样“非视频”还包括离线视频、下载、音频等内容，这样减少了多级判断遍历的次数。相比所有类型逐次比较，这种二元判断在实验时发现减少了 76% 的比较计算，提高了骨干网实施的可行性。

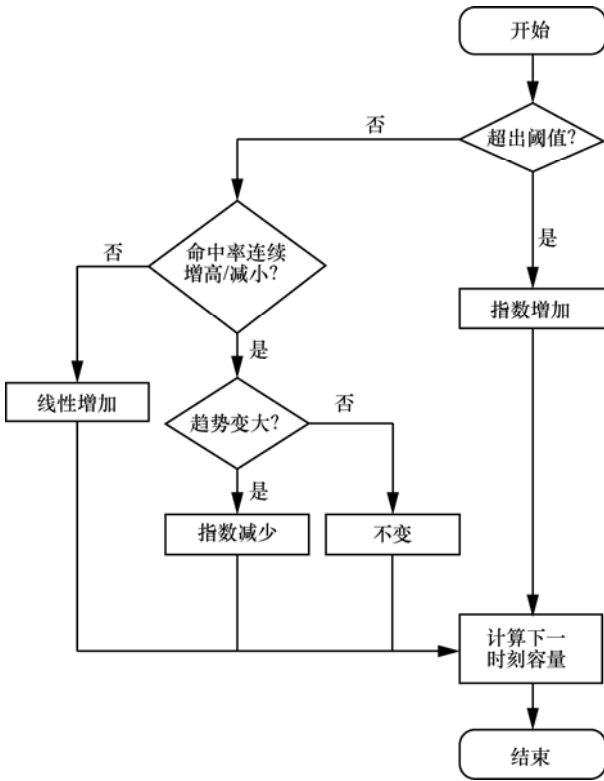


图 13 空间预测调整参数 $k_{i,j}$ 的计算过程

5 实验结果与分析

本文设计一个 AACM 模拟器，模拟器使用 Python 开发。已有的骨干网真实 HTTP 请求数据作为模拟器的输入，由于缓存的空间需求 C 和 HTTP 请求的唯一内容长度 L 成正比增长，它们之间的比例为 θ ，则可以表示为

$$C = L\theta, 0 < \theta < 1 \tag{4}$$

使用第 3 节中的真实的运营商 HTTP 内容请求数据实验验证。首先，计算每个小时唯一内容的长度并获得每个小时的平均唯一内容长度 L_{avg} ，对缓存日志进行编号，形成 L 的下标。针对 rt 数组，因为在线视频用户对 QoE 的要求比较高，设置 $rt_{video} = 1$ ， $rt_{notvideo} = 2^v$ 。

首先，仅仅使用 RT 策略分别对非高峰期和高峰期一个小时的 HTTP 请求进行实验， v 取 1~3， θ 取 0.01、0.02 和 0.045。内容替换策略选取了 LRU、LFU 和随机缓存 (random) 3 种，使用 hr 表示命中率，如图 14 所示。对于命中率，非高峰期 hr_{LRU} 、 hr_{random} 和 hr_{LFU} 之间没有明显的排名关系， hr_{random} 更好一些，在高峰期， $hr_{LRU} > hr_{LFU} > hr_{random}$ ；I/O 操作数和命中率的排名情况一致，回源流量 LRU 明

显少于其他 2 种，比较 LFU 和 random 这 2 种的回源流量，LFU 晚上稍微高一点，random 白天稍微多一些。综合判断：同等条件下 LRU 的结果更好，由于空间有限，仅仅显示了 $rt_{notvideo} = 4$ 的实验结果，如图 14 所示。

其次，实验加入 DP 算法，此算法中默认 $k_{i,0} = 0.1$ ，形成完整的 AACM 实验。此部分实验发现了 2 个问题，首先，缓存空间的频繁变动会带来很大的开销；其次，如果在高峰期前后规划缓存空间的时间间隔设置的过大，会得出命中率上下波动的推论，但是不代表真实的最近命中率趋势。结合第 3.2 节的特征分析结果，选择 15 min 为缓存空间动态规划的时间间隔，以一天为结果统计单元，对每天的 HTTP 请求进行处理。对同一天的数据，random 策略运行 3 次并求平均值作为分析的结果，实验中发现 random 的命中率方差非常小，证明了 random 结果的合理性。从 3 个评价指标整体上看，random 和 LRU 都远比 LFU 好，LRU 比 random 的性能更好一点，本文仅挑选了有代表性的 LRU 的实验结果，如表 3 所示。前 2 个是仅使用 AACM-RT 的方法，其中， RT_4 为 $rt_{notvideo} = 4$ 的条件下的结果， RT_{24} 为在请求高峰期设置 $rt_{notvideo} = 2$ 和非高峰期设置 $rt_{notvideo} = 4$ 的结果，第 3 个 DP 为仅仅使用 AACM-DP 方法，最后 2 个为共同使用的结果。

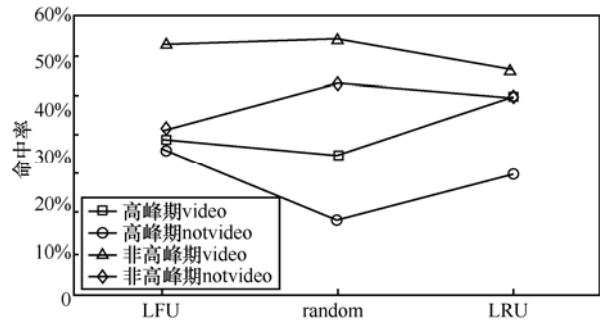


图 14 RT_4 的高峰期和非高峰期命中率比较 ($\theta = 0.02$)

表 3 缓存实验结果 (LRU)

方法	视频命中率	非视频命中率	回源流量/PB	内容替换次数 ($\times 10^7$)
优化前	35.9%	44.7%	3.700	10.940
RT_{24}	44.2%	33.5%	3.268	7.011
RT_4	47.4%	28.6%	3.100	6.254
DP	54.1%	41.5%	2.150	9.031
RT_{24} &DP	54.1%	34.9%	2.256	5.835
RT_4 &DP	54.1%	41.6%	2.166	5.380

实验结果分析如下。首先，对比 RT₂₄ 和 RT₄，RT₄ 的视频命中率提高了 10%，但造成了非视频命中率的大幅降低；RT₄ 仅有 28% 的平均命中率，这个结果会使高峰期的下载应用趋于失效。RT₂₄ 虽然提高了非视频的命中率，但是内容替换次数上依然较高，而且 33% 的平均命中率依然无法保证高峰期下载业务的开展。

其次，分析 DP 策略，虽然 DP 命中率得到优化，但是内容替换次数很高，造成缓存非常高的 I/O 负载开销，分析原因发现，由于非高峰期一次性内容访问较多和出现大量内容移入移出的操作，导致命中率波动比较大，并占用了较多的缓存空间。

最后，对比 RT₄&DP 和 RT₂₄&DP，这 2 个方法视频平均命中率都比优化前多了 18%，效果非常明显，RT₄&DP 非视频的平均命中率为 41%，仅比优化前的 44% 减少了 4%，而且 41% 的平均命中率对于下载、音乐等的服务质量可以接受，而 RT₂₄&DP 非视频平均命中率为 34%，这种结果导致在请求高峰期的时候，会产生低于 20% 的非视频命中率，影响了用户的体验；分析内容替换次数，RT₂₄&DP 和 RT₄&DP 都减少了一半的 I/O 操作，而且回源流量也获得了 40% 的减少，这些减少的带宽可以分配给其他的骨干网应用。

表 4 是缓存动态空间分配策略的实验结果，DP 与 RT₄&DP 对空间的需求相似，比固定缓存空间(45GB)多 11.1% 和 12% 的空间需求，而 RT₂₄&DP 比固定缓存空间仅多 4.2%，结合命中率的结果，验证了即使单独分配不同应用的缓存空间，AACM-RT 可以减少一次性请求对缓存空间的占用。总结这 2 部分的实验结果，从提高命中率、减少骨干网带宽和降低缓存操作负载 3 个指标观察，RT₄&DP 虽然会产生一部分监测 RTT 表开销，但是总体的收益更好。

表 4 缓存动态空间分配策略的实验结果 (LRU)

方法	视频/GB	非视频/GB	总量/GB	与固定缓存比较
DP	34.31	15.67	49.98	增加 11.1%
RT ₂₄ &DP	34.47	12.44	46.91	增加 4.2%
RT ₄ &DP	34.31	16.10	50.41	增加 12%

为了验证上述的结论，分析了 RT₄&DP 命中率变化趋势，如图 15 所示，经过优化之后，虽然视频请求的命中率波动范围比较大，但是非视频请求的命中率在 30%~50% 稳定波动，整体变化最低也

在 31% 以上，符合了 QoE 的要求。图 16 是缓存分配空间的堆积，视频和非视频的面积相加等于总的分配空间。非视频内容的缓存空间基本保持恒定，即使在请求高峰期，非视频的空间分配没有明显地增加，这个结论和第 3.2 节的唯一内容比趋势保持一致，说明唯一内容的增长趋势决定了缓存分配空间，与固定缓存开销相比，视频内容的缓存空间和请求数的变化趋势密切相关，额外的空间开销仅服务于高峰期的用户需求，虽然高峰期的请求数是非高峰期的 2 倍，但是高峰期分配的空间容量依然不超过固定空间的 2 倍。

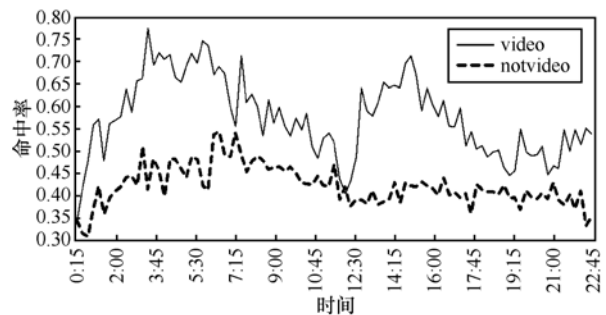


图 15 RT₄&DP 的命中率趋势

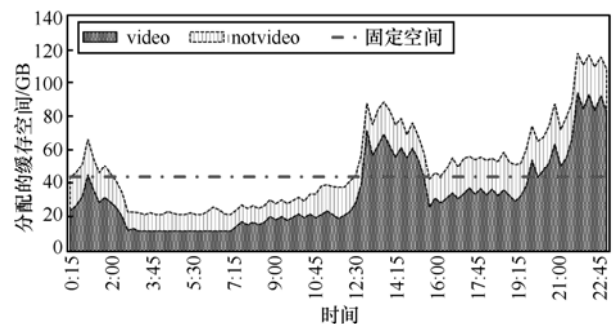


图 16 RT₄&DP 的缓存空间趋势

最后，本文分析了缓存的处理性能。一条 HTTP 请求的缓存处理时间定义为，缓存首次收到 HTTP 请求到用户开始下载内容过程中缓存参与的处理时间，请求源站的等待和下载时间都排除在外。图 17 为缓存处理百万 HTTP 请求的平均处理时间，random 最快，基本在 20~50 s，LRU 在 100~200 s，而 LFU 最慢。分析发现，RT 算法由于采用 Bloomfilter 的结构，时间开销很小，其次，空间动态扩展会带来一部分时间开销，而 LRU 和 LFU 的链表操作，占据了最多的时间开销。综合考虑，本文认为骨干网上 AACM 可以结合 LRU 和 random 两者，默认采用 LRU 策略，当请求高峰期出现了明显的处理滞后，可以使用 random 策略，保证 HTTP 请求处理的实时性。

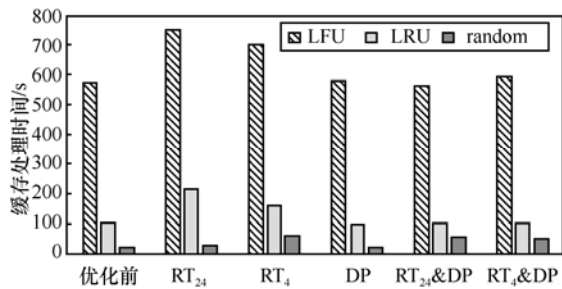


图 17 百万记录的缓存处理时间统计

6 结束语

本文首先分析了骨干网 HTTP 不同内容类型的请求特征，观察到 HTTP 请求呈长尾分布并存在一部分内容具有非常高的流行度。对于在线视频，高峰期它的请求数增加了 2 倍，但一次性内容请求降低了 20%，对于文件下载，存在一些热门下载文件被频繁访问，具有较高流行度。其次，本文提出一种面向应用感知的骨干网缓存方法 AACM，实验结果表明，缓存空间在高峰期略有增加的情况下，缓存性能得到了明显的提升。接下来的工作中，需要进一步研究不同内容类型的内容大小对缓存设计的影响以及 CDN 骨干网缓存优化方法，并开源原型系统。

参考文献：

[1] ALMEIDA V, BESTAVROS A, CROVELLA M, et al. Characterizing reference locality in the WWW[C]// Fourth International Conference on Parallel and Distributed Information Systems. 1996: 92-103.

[2] PALLIS G, VAKALI A. Insight and perspectives for content delivery networks[J]. Communications of the ACM, 2006, 49(1): 101-106.

[3] 中国信息通信研究院. 内容分发网络 (CDN) 白皮书 (2015) [R]. 中国信息通信研究院, 2015.

China Information And Communication Research Institute. Internet content network (CDN) white paper(2015)[R]. China Information and Communication Research Institute, 2015.

[4] RICHTER P, CHATZIS N, SMARAGDAKIS G, et al. Distilling the internet's application mix from packet-sampled traffic[C]// International Conference on Passive and Active Network Measurement. Springer International Publishing. 2015: 179-192.

[5] SHAFIQ M Z, LIU A X, KHAKPOUR A R. Revisiting caching in content delivery networks[J]//ACM SIGMETRICS Performance Evaluation Review. 2014, 42(1): 567-568.

[6] ZINK M, SUH K, GU Y, et al. Characteristics of YouTube network traffic at a campus network-measurements, models, and implications[J]. Computer Networks, 2009, 53(4): 501-514.

[7] IMBRENDA C, MUSCARIELLO L, ROSSI D. Analyzing cacheable traffic in isp access networks for micro CDN applications via content-centric networking[C]//The 1st International Conference on

Information-Centric Networking. 2014: 57-66.

[8] PODLIPNIG S, BOSZORMENYI L. A survey of web cache replacement strategies[J]. ACM Computing Surveys (CSUR), 2003, 35(4): 374-398.

[9] JIANG S, DING X, CHEN F, et al. DULO: an effective buffer cache management scheme to exploit both temporal and spatial locality[C]//The 4th Conference on USENIX Conference on File and Storage Technologies. 2005, 4: 8.

[10] BRESLAU L, CAO P, FAN L, et al. Web caching and Zipf-like distributions: evidence and implications[C]//Eighteenth Annual Joint Conference of the IEEE Computer and Communications Societies. 1999: 126-134.

[11] YANG Q, ZHANG H H, LI T. Mining Web logs for prediction models in WWW caching and prefetching[C]//The Seventh ACM SIGKDD International Conference on Knowledge Discovery and Data Mining. 2001: 473-478.

[12] NKATARAMANI A, YALAGANDULA P, KOKKU R, et al. The potential costs and benefits of long-term prefetching for content distribution[J]. Computer Communications, 2002, 25(4): 367-375.

[13] SRIVASTAVA J, COOLEY R, DESHPANDE M, et al. Web usage mining: discovery and applications of usage patterns from Web data[J]. ACM Sigkdd Explorations Newsletter, 2000, 1(2): 12-23.

[14] MA H, LIU W, WEI B, et al. PAAP: prefetch-aware admission policies for query results cache in Web search engines[C]//The 37th International ACM SIGIR Conference on Research & Development in Information Retrieval. 2014: 983-986.

[15] PODLIPNIG S, BOSZORMENYI L. A survey of Web cache replacement strategies[J]. ACM Computing Surveys (CSUR), 2003, 35(4): 374-398.

[16] ABRAHAMSSON H, NORDMARK M. Program popularity and viewer behaviour in a large TV-on-demand system[C]//The 2012 ACM Conference on Internet Measurement Conference. 2012: 199-210.

[17] ADHIKARI V K, GUO Y, HAO F, et al. A tale of three CDNs: an active measurement study of Hulu and its CDN[C]//2012 IEEE Conference on Computer Communications Workshops (INFOCOM WKSHPs). 2012: 7-12.

[18] FREEDMAN M J. Experiences with CoralCDN: a five-year operational view[C]//NSDI. 2010: 95-110.

[19] SHAFIQ M Z, KHAKPOUR A R, LIU A X. Characterizing caching workload of a large commercial content delivery network[C]// IEEE INFOCOM 2016-The 35th Annual IEEE International Conference on Computer Communications. 2016: 1-9.

[20] XU Q, ERMAN J, GREBER A, et al. Identifying diverse usage behaviors of smartphone Apps[C]//The 2011 ACM SIGCOMM Conference on Internet Measurement Conference. 2011: 329-344.

[21] MA Y, LIU X, ZHANG S, et al. Measurement and analysis of mobile Web cache performance[C]//The 24th International World Wide Web Conferences Steering Committee, 2015: 691-701.

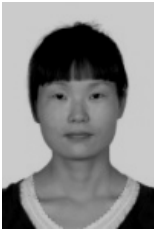
[22] CHAUDHARI S S, GUPTA P. Proxy-side Web prefetching scheme for efficient bandwidth usage: a probabilistic method[J]. International Journal of Engineering, 2014, 3(6).

[23] NIKOLAOU S, VAN R R, SCHIPER N. Cooperative client caching

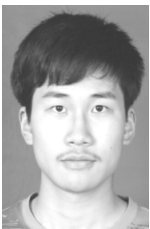
strategies for social and Web applications[J]. Large-Scale Distributed Systems and Middleware (LADIS). 2013.

- [24] XIE G, LI Z, KAAFAR M A, et al. Access types effect on internet video services and its implications on CDN caching[J]. IEEE Transactions on Circuits and Systems for Video Technology, 2017.
- [25] BONOMI F, MITZENMACHER M, PANIGRAHY R, et al. An improved construction for counting bloom filters[C]//European Symposium on Algorithms. 2006: 684-695.
- [26] CROVELLA M E, BESTAVROS A. Self-similarity in world wide web traffic: evidence and possible causes[J]. ACM Sigmetrics Performance Evaluation Review, 1996, 24(1): 160-169.
- [27] STATHOPOULOS A, KARLAFTIS M G. A multivariate state space approach for urban traffic flow modeling and prediction[J]. Transportation Research Part C: Emerging Technologies, 2003, 11(2): 121-135.

作者简介:



韩春静 (1978-), 女, 河南郑州人, 中国科学院计算技术研究所博士生, 中国科学院信息工程研究所高级工程师、硕士生导师, 主要研究方向为网络测量与行为分析、网络信息流识别与处理等。



杨晔 (1995-), 男, 安徽池州人, 中国科学院计算技术研究所博士生, 主要研究方向为下一代互联网。



吕红蕾 (1981-), 女, 河北邢台人, 中国科学院信息工程研究所高级工程师、硕士生导师, 主要研究方向为网络测量与行为分析、大规模网络流数据处理等。



葛敬国 (1973-), 男, 安徽肥东人, 中国科学院信息工程研究所研究员、博士生导师, 主要研究方向为网络体系结构与安全防护、网络测量与行为分析。



李佟 (1978-), 男, 辽宁盘锦人, 中国科学院信息工程研究所高级工程师、硕士生导师, 主要研究方向为网络和计算机体系结构、网络测量与行为分析。



刘韵洁 (1943-), 男, 山东烟台人, 中国科学院院士, 中国科学院计算技术研究所教授、博士生导师, 主要研究方向为未来网络架构及关键技术、网络融合与演进。